

DAFTAR PUSTAKA

- Abdinegara, M., Wiswana, I. G. Y., & Putra, I. W. K. E. (2021). Perbandingan Hasil Pemotretan Foto Udara Menggunakan Drone Industrial Dengan Drone Basic. *Jurnal ENMAP (Environment & Mapping) ENMAP*, 2(2), 29–36.
- Azzahra, F. S., Suryanti, S., & Febrianto, S. (2020). Estimasi Serapan Karbon pada Hutan Mangrove Desa Bedono, Demak, Jawa Tengah. *Journal of Fisheries and Marine Research*, 4(2), 308–315.
- Briere, M., Lebourgeois, C., Vincent, G., Korboulewsky, N., & Dufrêne, E. (2021). Leaf Area Index Estimation of Even-Aged Oak (*Quercus petraea*) Forests Using In situ Stand Dendrometric Parameters. *Research Gate*. <https://doi.org/10.1101/2021.08.05.454476>
- Curtis, R. O., & Marshall, D. D. (2000). Technical Note: Why Quadratic Mean Diameter? *Western Journal of Applied Forestry*, 15(3), 137–139.
- Dalle, A. (2021). Produksi Serasah Tegakan Hutan Tanaman Mahoni Berdasarkan Pola Musim Tahunan pada Hutan Pendidikan Universitas Hasanuddin. Skripsi : Fakultas Kehutanan Universitas Hasanuddin Makassar.
- Dantec, V., Le, Ane, E. D., & Saugier, B. (1999). Interannual and Spatial Variation in Maximum Leaf Area Index of Temperate Deciduous Stands. *Forest Ecology and Management*, 71–81.
- Diamantopoulou, M. J., & Milius, E. (2010). Modelling Total Volume of Dominant Pine Trees in Reforestations Via Multivariate Analysis and Artificial Neural Network Models. *Biosystems Engineering*, 105(3), 306–315. <https://doi.org/10.1016/j.biosystemseng.2009.11.010>
- Ercanlı, İ., Günlü, A., Şenyurt, M., & Keleş, S. (2018). Artificial Neural Network Models Predicting the Leaf Area Index: A Case Study in Pure Even-Aged Crimean Pine Forests From Turkey. *Forest Ecosystems*, 5(1).
- Evans, R. G., Andrew, J. T., & Malcolm, P. N. (2016). Influence of Stand Structure on Leaf Area Index in a Mixed-Conifer Forest. *Forest Ecology and Management*, 377.
- Fang, H., Frédéric, B., Plummer, S., & Schaepman-Strub, G. (2019). An Overview of Global Leaf Area Index (LAI): Methods, Products, Validation, and Applications. *Reviews of Geophysics*, 57(3), 739–799.
- Firmanto, J., Wahyudiono, S., Suhartati, T., & Waldy, J. (2019). Pengembangan Metode Pendugaan Leaf Area Index (LAI) pada Hutan Tanaman Eucalyptus sp. CGP066 Berbasis Citra Satelit Landsat-8 OLI. *Jurnal Wana Tropika FAHUTAN INSTIPER Yogyakarta*, 1(1), 1-4.

- Ghozali, I. (2016). *Aplikasi Analisis Multivariete Dengan Program IBM SPSS 23* (8th ed.). Badan Penerbit Universitas Diponegoro. Semarang.
- Ghozali, I. (2018). *Aplikasi Analisis Multivariate Dengan Program IBM SPSS 25* (9th ed.). Badan Penerbit Universitas Diponegoro. Semarang.
- Hematang, F., Murdjoko, A., & Hendri. (2021). Model Pendugaan Diameter Pohon Berbasis Citra Unmanned Aerial Vehicle (UAV) pada Hutan Hujan Tropis Papua: Studi di Pulau Mansinam Papua Barat. *Jurnal Penelitian Kehutanan Faloak*, 5(1), 16–30. <https://doi.org/10.20886/jpkf.2021.5.1.16-30>
- Ismail, & Emawati, H. (2014). Derajat Kestabilan Tegakan Karet (*Hevea brasiliensis*) di Kelurahan Margomulyo Kecamatan Samboja Kabupaten Kutai Kartanegara. Puslitbang. Universitas 17 Agustus 1945 Samarinda, 9–12.
- Jonckheere, I., Fleck, S., Nackaerts, K., Muys, B., Coppin, P., Weiss, M., & Baret, F. (2004). Review of Methods for in Situ Leaf Area Index Determination: Part I. Theories, Sensors and Hemispherical Photography. *Agricultural and Forest Meteorology*, 121(1–2), 19–35.
- Kamal, M., Kanekaputra, T., Hermayani, R., & Utari, D. (2019). Leaf Area Index (LAI) Mangrove (The Effect of Spatial Distribution of Modelling Sample To The Accuracy of Mangrove Leaf Area Index Estimation). *Jurnal Penginderaan Jauh Dan Pengolahan Data Citra Digital*, 17(2). <https://doi.org/10.30536/j.pjpdcd.2019.v16.a3069>
- Kustono, & Hatmojo, Y. I. (2006). Kinerja Jaringan Syarat Tiruan Backpropagation Untuk Peramalan Beban Listrik Harian di Jawa Tengah - DIY. *Jurnal Penelitian Sainstek*, 11, 17–36.
- Mardiatmoko, G. (2020). Pentingnya Uji Asumsi Klasik pada Analisis Regresi Linear Berganda (Studi Kasus Penyusunan Persamaan Allometrik Kenari Muda (*Canarium indicum L.*)). *Jurnal Ilmu Matematika Dan Terapan*, 14(3), 333–342. <https://doi.org/10.30598/barekengvol14iss3pp333-342>
- Mindawati, N., Indrawan, A., Mansur, I., & Rusdiana, O. (2010). Kajian Pertumbuhan Tegakan Hybrid *Eucalyptus urograndis* di Sumatera Utara. *Jurnal Penelitian Hutan Tanaman*, 7(1), 39–50.
- Mueller-Dombois, D., & Ellenberg, H. (1974). *Aims and Methods of Vegetation Ecology*. John Wiley and Sons, New York.
- Naemah, D. (2012). Riap Pertumbuhan Tanaman Rehabilitasi Lahan Jati (*Tectona grandis L*) dan Karet (*Hevea brasiliensis*) di Kabupaten Banjar Kalimantan Selatan. *Jurnal Penelitian Universitas Lambung Mangkurat*, 1(1), 2–18.

- Nihayah, A. Z. (2019). E Book Pengolahan Data Penelitian Menggunakan Software SPSS 23.0. UIN Walisongo. Semarang.
- Özçelik, R., Diamantopoulou, M. J., Brooks, J. R., & Wiant, H. V. (2010). Estimating Tree Bole Volume Using Artificial Neural Network Models for Four Species in Turkey. *Journal of Environmental Management*, 91(3), 742–753. <https://doi.org/10.1016/j.jenvman.2009.10.002>
- Özçelik, R., Diamantopoulou, M. J., Crecente-Campo, F., & Eler, U. (2013). Estimating Crimean Juniper Tree Height Using Nonlinear Regression and Artificial Neural Network Models. *Forest Ecology and Management*, 306, 52–60. <https://doi.org/10.1016/j.foreco.2013.06.009>
- Pamungkas, B., Wirabuana, P. Y. A. P., & Sadono, R. (2022). Model Alometrik untuk Estimasi Leaf Area Index pada Berbagai Spesies Pohon Hutan Rakyat di Kabupaten Jepara. Skripsi : Fakultas Kehutanan Universitas Gadjah Mada.
- Parmadi, W. T., & Sukojo, B. M. (2016). Analisa Ketelitian Geometric Citra Pleiades Sebagai Penunjang Peta Dasar RDTR. *Jurnal Teknik ITS*, 5(2).
- Petersen, K. S., Ares, A., Terry, T. A., & Harrison, R. B. (2008). Vegetation Competition Effects on Aboveground Biomass and Macronutrients, Leaf area, and Crown Structure in 5-Year Old Douglas-Fir. *New Forests*, 35(3), 299–311. <https://doi.org/10.1007/s11056-007-9078-z>
- Prihadi, N., Bramasto, N., Darusman, D., & Wijayanto, N. (2010). Keunggulan Kompetitif dan Komparatif Kemitraan Industri dan Rakyat Untuk Membangun Hutan di Pulau Jawa. *Jurnal Penelitian Sosial Dan Ekonomi Hutan*, 7(2), 117–126.
- PT. RAPP. (2020). *Sejarah PT. Riau Andalan Pulp and Paper (PT. RAPP)*. <https://www.aprilasia.com/id/tentang-april/sejarah>. Diakses pada tanggal 1 Februari 2024.
- Purnama, M., Pribadi, R., & Soenardjo, N. (2020). Analisa Tutupan Kanopi Mangrove Dengan Metode Hemispherical Photography di Desa Betahwalang, Kabupaten Demak. *Journal of Marine Research*, 9(3), 317–325. <https://doi.org/10.14710/jmr.v9i3.27577>
- Risdiyanto, I., & Setiawan, R. (2007). Metode Neraca Energi Untuk Perhitungan Indeks Luas Daun Menggunakan Data Citra Satelit Multi Spektral. *Jurnal Agromet Indonesia* 21, 2, 27–38.
- Ryandhi, R. (2017). Penerapan Metode Artificial Neural Network (ANN) untuk Peramalan Inflasi di Indonesia. Skripsi Fakultas Teknologi Informasi Institut Teknologi Sepuluh November Surabaya.

- Samosir, N., Siagian, P., & Bangun, P. (2014). Analisa Metode Backward dan Metode Forward untuk Menentukan Persamaan Regresi Linear Berganda. *Saintia Matematika*, 2(4), 345–360.
- Shah, T. (2017). Train, Validation and Test Sets. <https://towardsdatascience.com/>. Diakses pada tanggal 13 Februari 2024
- Sidabras, N., & Augustaitis, A. (2015). Application Perspectives of the Leaf Area Index (LAI) Estimated by the Hemiview System in Forestry. *Proceedings of the Latvia University of Agriculture*, 33(1), 26–34.
- Simanihuruk, B. W. (2001). Analisis Pertumbuhan Tanaman Jagung Manis (*Zea mays Saccharata*), Pergeseran Komposisi Gulma pada Beberapa Jarak Tanam. *Jurnal Ilmu - Ilmu Pertanian Indonesia*, 3(1), 25–30.
- Soewarno. (1995). Aplikasi Metode Statistik untuk Analisa Data (1st ed.). NOVA. Bandung.
- Sugianto, Wahyudiono, S., & Suhartati, T. (2019). Monitoring Pertumbuhan Tanaman Eucalyptus Sp pada Umur 3 Bulan Menggunakan Hasil Foto Udara Dengan Drone. *Jurnal Online Mahasiswa FAHUTAN INSTIPER Yogyakarta*, 1.
- Suhartati, T., Wahyudiono, S., Purwadi, & Kusumaningsih, K. R. (2022). Karakteristik Pohon Jati Unggul Nusantara (JUN) Umur 3 Tahun Berbasis Citra Drone Di RPH Mulo KPH Yogyakarta. *Jurnal Kehutanan Papua*, 8(2), 317–325.
- Sunjoyo, Setiawan, R., Carolina, V., Magdalena, N., & Kurniawan, A. (2013). Aplikasi SPSS untuk Smart Riset (1st ed., Vol. 8). Alfabeta. Bandung.
- Surbakti, A. H., Adriani, & Syarifuddin, H. (2022). Kandungan Fraksi Serat Hijauan Pakan Alami yang Tumbuh Diantara Tanaman Hutan Industri *Eucalyptus sp* pada Umur yang Berbeda. *Jurnal Ilmiah Ilmu-Ilmu Peternakan*, 25(2), 121–133.
- Susilo, D. E. H. (2015). Identifikasi Nilai Konstanta Bentuk Daun Untuk Pengukuran Luas Daun Metode Panjang Kali Lebar pada Tanaman Hortikultura di Tanah Gambut. *Anterior Journal*, 14, 139–146.
- Suwarsono, Muchlisin, A., Sulma, S., Suryo, N., Sulyantoro, H., & Setiawan, K. T. (2011). Pengembangan Metode Penentuan Indeks Luas Daun pada Penutup Lahan Hutan dari Data Satelit Penginderaan Jauh SPOT-2. *Jurnal Penginderaan Jauh*, 8, 50–59.
- Suyono. (2018). Analisis Regresi untuk Penelitian (1st ed.). Deepublish. Daerah Istimewa Yogyakarta.

- Wahyudi, M. S. (2015). Perbedaan Struktur dan Bentuk Hutan Kota PT. Jakarta Industrial Estate Pulogadung Dalam Meredam Kebisingan. Skripsi : Fakultas Kehutanan Institut Pertanian Bogor.
- Wasril, A. R., Ghazali, M. S., & Mustafa, M. B. (2019). Pembuatan Pendekripsi Obyek Dengan Metode You Only Look Once (YOLO) Untuk Automated Teller Machine (ATM). *Majalah Ilmiah UNIKOM*, 17(1), 69–75.
- Yancey, M. (2020). Measuring Site Index. *Forest Resources and Environmental Conservation*. 1(1), 1-4.

LAMPIRAN

Lampiran 1. Data Keseluruhan (100%)

QUADRAN	LAI	HEIGHT	THA	BA	DQ	SI
BASA028B002Q1	1,65	12,0	1600	9,4	8,7	30,9
BASA028B002Q2	1,30	12,1	1800	11,0	8,8	33,0
BASA028B002Q3	1,39	12,1	1500	9,6	9,0	32,8
BASA028B002Q4	1,42	11,4	1900	10,5	8,4	31,5
BASA028C005Q1	1,18	12,1	1700	12,1	9,5	32,9
BASA028C005Q2	1,12	12,1	1800	10,3	8,5	32,5
BASA028C005Q3	1,10	11,9	1600	9,4	8,7	31,8
BASA028C005Q4	1,56	12,3	2100	12,5	8,7	33,4
BASA028D006Q1	1,30	12,1	1600	9,9	8,9	32,0
BASA028D006Q2	0,70	11,9	1500	9,3	8,9	31,6
BASA028D006Q3	0,88	11,4	1700	9,7	8,5	31,8
BASA028D006Q4	1,20	11,8	1800	10,3	8,6	30,7
BASA061A001Q1	1,94	11,4	1900	10,2	8,3	30,9
BASA061A001Q2	1,47	11,0	1600	8,0	8,0	30,4
BASA061A001Q3	1,13	9,7	1600	6,6	7,3	31,0
BASA061A001Q4	1,07	11,9	1800	10,0	8,4	30,6
BASA061B002Q1	1,26	11,8	2000	11,6	8,6	34,3
BASA061B002Q2	1,09	11,5	1500	9,2	8,9	32,0
BASA061B002Q3	1,47	12,4	1400	8,7	8,9	31,0
BASA061B002Q4	1,19	11,8	1400	8,3	8,7	31,1
BASA061C003Q1	1,29	11,9	1600	9,5	8,7	31,3
BASA061C003Q2	0,90	12,4	1600	10,1	9,0	31,9
BASA061C003Q3	1,12	12,4	1700	10,5	8,9	32,5
BASA061C003Q4	1,02	11,3	1800	9,8	8,3	31,9
BASA061C004Q1	0,89	11,8	1700	10,4	8,8	32,2
BASA061C004Q2	1,45	10,7	1800	8,3	7,7	32,0
BASA061C004Q3	0,75	9,4	1500	6,7	7,6	31,6
BASA061C004Q4	1,29	12,0	1600	9,1	8,5	31,3
BASA061D005Q1	1,39	11,8	1700	9,8	8,6	31,4
BASA061D005Q2	1,14	12,5	1600	10,4	9,1	32,6
BASA061D005Q3	1,13	10,2	1700	9,3	8,4	32,1
BASA061D005Q4	0,94	10,6	1400	7,8	8,4	33,2
BASI033B002Q1	1,34	6,1	1100	3,1	5,9	24,0
BASI033B002Q2	1,54	7,9	1700	6,6	7,0	24,9
BASI033B002Q3	1,62	8,4	1600	7,0	7,5	25,9
BASI033B002Q4	0,70	6,6	1700	6,0	6,7	24,9
BASI033C003Q1	1,33	8,8	1700	6,7	7,1	23,5
BASI033C003Q2	1,01	7,5	2100	6,2	6,1	22,8

Lanjutan Lampiran 1.

QUADRAN	LAI	HEIGHT	THA	BA	DQ	SI
BASI033C003Q3	0,87	6,3	1200	2,8	5,4	22,8
BASI033C003Q4	0,92	7,0	1600	4,6	6,1	22,5
BASI033D004Q1	1,62	8,4	1500	6,1	7,2	26,3
BASI033D004Q2	2,16	8,1	1700	6,8	7,1	25,3
BASI033D004Q3	1,29	8,7	1700	7,7	7,6	25,1
BASI033D004Q4	1,45	7,4	1500	5,9	7,1	26,1
BASJ013A001Q1	1,51	9,2	1900	8,9	7,7	27,3
BASJ013A001Q2	1,32	8,9	1600	7,8	7,9	26,5
BASJ013A001Q3	1,02	8,5	1500	6,6	7,5	25,4
BASJ013A001Q4	1,55	9,3	1300	5,9	7,6	25,6
BASJ013B003Q1	1,71	7,5	1300	4,9	7,0	25,7
BASJ013B003Q2	0,76	6,8	1400	3,5	5,6	23,3
BASJ013B003Q3	1,22	9,9	1400	8,5	8,8	27,8
BASJ013B003Q4	1,24	9,7	1300	6,6	8,0	24,3
BASJ013C004Q1	1,52	8,0	1800	8,0	7,5	27,9
BASJ013C004Q2	1,32	8,7	1300	5,5	7,3	25,6
BASJ013C004Q3	1,19	9,4	1700	10,1	8,7	26,9
BASJ013C004Q4	1,05	9,7	1600	9,1	8,5	26,7
BASJ013D005Q1	1,54	8,1	2300	9,3	7,2	25,8
BASJ013D005Q2	1,52	8,3	1400	5,9	7,3	25,8
BASJ013D005Q3	1,44	8,1	1800	8,3	7,6	26,4
BASJ013D005Q4	1,42	8,2	1700	6,6	7,0	26,4
BASJ017A001Q1	2,02	8,4	1600	6,9	7,4	26,7
BASJ017A001Q2	1,67	10,3	1700	10,1	8,7	28,4
BASJ017A001Q3	1,60	10,3	1800	10,1	8,4	27,5
BASJ017A001Q4	1,29	9,5	1900	9,4	8,0	26,3
BASJ017A002Q1	1,94	9,6	2100	10,7	8,0	27,8
BASJ017A002Q2	1,18	7,0	1400	3,4	5,6	22,9
BASJ017A002Q3	0,63	6,7	1800	3,8	5,2	21,4
BASJ017A002Q4	0,78	7,6	1400	4,1	6,1	23,5
BASJ017B005Q1	0,58	7,9	1400	6,3	7,6	25,5
BASJ017B005Q2	1,23	9,6	1400	8,1	8,6	26,4
BASJ017B005Q3	0,82	10,0	1400	8,7	8,9	26,9
BASJ017B005Q4	1,05	9,9	1500	9,2	8,8	26,2
BASJ017X006Q1	0,98	7,3	1300	4,6	6,7	24,2
BASJ017X006Q2	1,37	8,0	1600	7,3	7,6	26,4
BASJ017X006Q3	1,08	8,0	1800	6,4	6,8	24,7
BASJ017X006Q4	0,90	7,5	1600	6,0	6,9	24,7
BASJ017X007Q1	1,73	8,3	1600	7,8	7,9	29,0

Lanjutan Lampiran 1.

QUADRAN	LAI	HEIGHT	THA	BA	DQ	SI
BASJ017X007Q2	1,71	9,3	1800	9,3	8,1	27,0
BASJ017X007Q3	1,54	9,9	1600	8,6	8,3	26,8
BASJ017X007Q4	1,55	9,7	1800	10,3	8,5	27,5
BASJ552A001Q1	0,76	10,0	1300	7,4	8,5	29,1
BASJ552A001Q2	0,88	10,6	1300	7,8	8,7	28,8
BASJ552A001Q3	0,97	8,7	1100	5,5	8,0	27,9
BASJ552A001Q4	0,80	11,2	800	5,2	9,1	28,5
BASJ552A002Q1	1,02	10,9	1700	9,6	8,5	30,6
BASJ552A002Q2	1,47	10,4	1700	9,7	8,5	29,0
BASJ552A002Q3	1,51	11,4	1800	11,8	9,1	32,1
BASJ552A002Q4	1,53	11,2	1700	11,9	9,4	32,0
BASJ552B003Q1	1,17	10,3	1400	8,2	8,7	30,6
BASJ552B003Q2	1,32	11,5	1600	10,8	9,3	33,7
BASJ552B003Q3	1,56	11,3	1500	10,3	9,4	32,7
BASJ552B003Q4	1,34	10,5	1700	10,5	8,9	31,5
BASJ552B004Q1	1,68	10,7	1300	8,0	8,8	28,7
BASJ552B004Q2	1,52	10,3	1100	5,9	8,3	27,9
BASJ552B004Q3	1,20	10,1	1400	7,2	8,1	27,7
BASJ552B004Q4	1,41	9,6	1700	8,0	7,7	27,4
BASJ552C005Q1	1,20	11,8	1600	12,5	10,0	30,3
BASJ552C005Q2	1,56	11,3	1400	11,3	10,1	30,6
BASJ552C005Q3	1,93	11,1	1400	9,2	9,2	30,2
BASJ552C005Q4	1,54	12,0	1300	10,6	10,2	30,6
BASK765A001Q1	1,11	13,1	1200	9,7	10,1	33,9
BASK765A001Q2	1,53	12,5	1800	12,8	9,5	33,5
BASK765A001Q3	0,79	12,8	1300	9,6	9,7	32,0
BASK765A001Q4	1,38	12,3	1900	12,9	9,3	34,2
BASK765B002Q1	1,37	12,0	1400	9,1	9,1	33,2
BASK765B002Q2	0,81	10,7	1800	9,7	8,3	32,0
BASK765B002Q3	1,21	10,9	1600	9,4	8,6	32,7
BASK765B002Q4	1,66	10,5	1600	9,1	8,5	33,4
BASK765C003Q1	1,27	11,2	1600	8,4	8,2	32,9
BASK765C003Q2	1,37	9,2	1700	7,0	7,2	32,0
BASK765C003Q3	1,30	9,5	1500	6,7	7,5	30,5
BASK765C003Q4	1,81	11,2	1800	10,3	8,5	32,9
BASK765C004Q1	1,67	11,1	1500	8,0	8,2	32,5
BASK765C004Q2	2,14	9,9	1400	6,3	7,6	31,0
BASK765C004Q3	1,34	10,3	1400	8,1	8,6	33,7
BASK765C004Q4	1,60	10,9	1600	8,2	8,1	31,4

Lanjutan Lampiran 1.

QUADRAN	LAI	HEIGHT	THA	BA	DQ	SI
BASK765C005Q1	1,57	10,4	1900	8,0	7,3	29,3
BASK765C005Q2	1,22	10,0	2000	9,4	7,7	31,7
BASK765C005Q3	1,17	10,7	1800	8,6	7,8	30,4
BASK765C005Q4	1,38	10,9	2000	9,9	7,9	30,4

Sumber : LAI : Data Primer

H, THA, BA, DQ, SI : Data Sekunder

Lampiran 2. Data Pengujian (75%)

QUADRAN	LAI	HEIGHT	THA	BA	DQ	SI
BASA028B002Q1	1,65	12,03	1600	9,44	8,67	30,86
BASA028B002Q3	1,39	12,06	1500	9,57	9,01	32,82
BASA028B002Q4	1,42	11,36	1900	10,46	8,37	31,52
BASA028C005Q1	1,18	12,06	1700	12,06	9,50	32,95
BASA028C005Q2	1,12	12,11	1800	10,32	8,54	32,46
BASA028C005Q3	1,10	11,94	1600	9,41	8,65	31,82
BASA028C005Q4	1,56	12,30	2100	12,50	8,70	33,42
BASA028D006Q1	1,30	12,08	1600	9,88	8,87	31,99
BASA028D006Q2	0,70	11,93	1500	9,28	8,88	31,62
BASA028D006Q3	0,88	11,39	1700	9,67	8,51	31,79
BASA061A001Q1	1,94	11,39	1900	10,16	8,25	30,95
BASA061A001Q2	1,47	11,04	1600	8,02	7,99	30,40
BASA061A001Q3	1,13	9,67	1600	6,61	7,25	31,01
BASA061A001Q4	1,07	11,94	1800	9,95	8,39	30,64
BASA061B002Q2	1,09	11,54	1500	9,23	8,85	31,96
BASA061C003Q1	1,29	11,86	1600	9,49	8,69	31,26
BASA061C003Q3	1,12	12,39	1700	10,46	8,85	32,46
BASA061C003Q4	1,02	11,27	1800	9,84	8,34	31,91
BASA061C004Q2	1,45	10,67	1800	8,28	7,65	32,04
BASA061C004Q3	0,75	9,44	1500	6,73	7,56	31,61
BASA061D005Q1	1,39	11,78	1700	9,77	8,55	31,44
BASA061D005Q2	1,14	12,54	1600	10,45	9,12	32,58
BASA061D005Q3	1,13	10,24	1700	9,32	8,35	32,13
BASA061D005Q4	0,94	10,62	1400	7,77	8,41	33,18
BASI033B002Q1	1,34	6,09	1100	3,06	5,95	23,99
BASI033B002Q3	1,62	8,39	1600	6,98	7,45	25,94
BASI033C003Q1	1,33	8,81	1700	6,70	7,09	23,50
BASI033C003Q2	1,01	7,49	2100	6,18	6,12	22,82
BASI033C003Q3	0,87	6,26	1200	2,79	5,44	22,77
BASI033C003Q4	0,92	7,01	1600	4,64	6,07	22,48
BASI033D004Q1	1,62	8,38	1500	6,15	7,22	26,26
BASI033D004Q2	2,16	8,06	1700	6,78	7,13	25,34
BASI033D004Q4	1,45	7,42	1500	5,91	7,08	26,06
BASJ013A001Q1	1,51	9,17	1900	8,86	7,71	27,27
BASJ013A001Q2	1,32	8,87	1600	7,78	7,87	26,49
BASJ013B003Q2	0,76	6,75	1400	3,46	5,61	23,33
BASJ013B003Q3	1,22	9,95	1400	8,55	8,82	27,75
BASJ013C004Q1	1,52	8,02	1800	8,03	7,54	27,92
BASJ013C004Q2	1,32	8,67	1300	5,49	7,33	25,62

Lanjutan Lampiran 2.

QUADRAN	LAI	HEIGHT	THA	BA	DQ	SI
BASJ013C004Q3	1,19	9,40	1700	10,08	8,69	26,91
BASJ013D005Q1	1,54	8,09	2300	9,30	7,17	25,79
BASJ013D005Q2	1,52	8,29	1400	5,85	7,30	25,75
BASJ013D005Q3	1,44	8,10	1800	8,26	7,65	26,40
BASJ013D005Q4	1,42	8,18	1700	6,63	7,04	26,35
BASJ017A001Q1	2,02	8,37	1600	6,94	7,43	26,70
BASJ017A001Q2	1,67	10,33	1700	10,07	8,69	28,36
BASJ017A001Q3	1,60	10,30	1800	10,07	8,44	27,51
BASJ017A001Q4	1,29	9,46	1900	9,43	7,95	26,30
BASJ017A002Q1	1,94	9,55	2100	10,65	8,04	27,75
BASJ017A002Q3	0,63	6,72	1800	3,81	5,19	21,42
BASJ017B005Q2	1,23	9,56	1400	8,06	8,56	26,35
BASJ017B005Q3	0,82	10,02	1400	8,70	8,89	26,94
BASJ017B005Q4	1,05	9,95	1500	9,18	8,83	26,22
BASJ017X006Q1	0,98	7,27	1300	4,55	6,68	24,21
BASJ017X006Q2	1,37	7,97	1600	7,32	7,63	26,40
BASJ017X006Q3	1,08	8,04	1800	6,45	6,75	24,68
BASJ017X006Q4	0,90	7,50	1600	5,95	6,88	24,75
BASJ017X007Q1	1,73	8,35	1600	7,81	7,88	28,96
BASJ017X007Q2	1,71	9,30	1800	9,26	8,09	27,03
BASJ017X007Q3	1,54	9,95	1600	8,64	8,29	26,79
BASJ017X007Q4	1,55	9,71	1800	10,33	8,55	27,49
BASJ552A001Q1	0,76	10,00	1300	7,36	8,49	29,07
BASJ552A001Q2	0,88	10,64	1300	7,79	8,74	28,78
BASJ552A001Q3	0,97	8,70	1100	5,50	7,98	27,94
BASJ552A001Q4	0,80	11,18	800	5,20	9,09	28,49
BASJ552A002Q1	1,02	10,89	1700	9,64	8,50	30,65
BASJ552A002Q2	1,47	10,35	1700	9,75	8,54	29,00
BASJ552A002Q3	1,51	11,42	1800	11,76	9,12	32,10
BASJ552B003Q1	1,17	10,33	1400	8,24	8,66	30,63
BASJ552B003Q2	1,32	11,48	1600	10,77	9,26	33,66
BASJ552B003Q4	1,34	10,53	1700	10,49	8,86	31,49
BASJ552B004Q1	1,68	10,68	1300	7,97	8,83	28,71
BASJ552B004Q2	1,52	10,30	1100	5,91	8,27	27,94
BASJ552B004Q3	1,20	10,14	1400	7,17	8,07	27,70
BASJ552B004Q4	1,41	9,64	1700	7,96	7,72	27,41
BASJ552C005Q1	1,20	11,84	1600	12,50	9,97	30,29
BASJ552C005Q2	1,56	11,30	1400	11,32	10,14	30,65
BASJ552C005Q4	1,54	12,00	1300	10,58	10,18	30,64
BASK765A001Q1	1,11	13,08	1200	9,66	10,13	33,88

Lanjutan Lampiran 2.

QUADRAN	LAI	HEIGHT	THA	BA	DQ	SI
BASK765A001Q2	1,53	12,45	1800	12,76	9,50	33,54
BASK765A001Q3	0,79	12,79	1300	9,60	9,69	31,97
BASK765B002Q1	1,37	11,96	1400	9,12	9,11	33,16
BASK765B002Q2	0,81	10,75	1800	9,68	8,28	31,99
BASK765B002Q3	1,21	10,89	1600	9,38	8,64	32,68
BASK765B002Q4	1,66	10,54	1600	9,15	8,53	33,42
BASK765C003Q1	1,27	11,16	1600	8,39	8,17	32,86
BASK765C003Q2	1,37	9,19	1700	6,96	7,22	31,97
BASK765C004Q2	2,14	9,93	1400	6,31	7,58	31,04
BASK765C004Q3	1,34	10,33	1400	8,07	8,56	33,72
BASK765C005Q2	1,22	9,98	2000	9,36	7,72	31,70
BASK765C005Q3	1,17	10,71	1800	8,60	7,80	30,35

Sumber : LAI : Data Primer

H, THA, BA, DQ, SI : Data Sekunder

Lampiran 3. Data Validasi (25%)

QUADRAN	LAI	HEIGHT	THA	BA	DQ	SI
BASA028B002Q2	1,30	12,09	1800	11,02	8,83	32,97
BASA028D006Q4	1,20	11,82	1800	10,34	8,55	30,74
BASA061B002Q1	1,26	11,81	2000	11,64	8,61	34,27
BASA061B002Q3	1,47	12,38	1400	8,65	8,87	30,95
BASA061B002Q4	1,19	11,82	1400	8,33	8,70	31,07
BASA061C003Q2	0,90	12,42	1600	10,08	8,96	31,92
BASA061C004Q1	0,89	11,77	1700	10,40	8,83	32,23
BASA061C004Q4	1,29	11,99	1600	9,08	8,50	31,32
BASI033B002Q2	1,54	7,91	1700	6,59	7,02	24,93
BASI033B002Q4	0,70	6,65	1700	5,96	6,68	24,87
BASI033D004Q3	1,29	8,70	1700	7,71	7,60	25,09
BASJ013A001Q3	1,02	8,52	1500	6,58	7,47	25,42
BASJ013A001Q4	1,55	9,31	1300	5,90	7,60	25,63
BASJ013B003Q1	1,71	7,49	1300	4,95	6,96	25,73
BASJ013B003Q4	1,24	9,75	1300	6,60	8,04	24,28
BASJ013C004Q4	1,05	9,66	1600	9,11	8,51	26,66
BASJ017A002Q2	1,18	7,01	1400	3,44	5,59	22,88
BASJ017A002Q4	0,78	7,56	1400	4,12	6,12	23,55
BASJ017B005Q1	0,58	7,87	1400	6,33	7,59	25,50
BASJ552A002Q4	1,53	11,25	1700	11,89	9,44	31,97
BASJ552B003Q3	1,56	11,28	1500	10,30	9,35	32,71
BASJ552C005Q3	1,93	11,13	1400	9,21	9,15	30,21
BASK765A001Q4	1,38	12,26	1900	12,93	9,31	34,24
BASK765C003Q3	1,30	9,54	1500	6,70	7,54	30,48
BASK765C003Q4	1,81	11,21	1800	10,29	8,53	32,86
BASK765C004Q1	1,67	11,12	1500	7,96	8,22	32,46
BASK765C004Q4	1,60	10,90	1600	8,15	8,05	31,39
BASK765C005Q1	1,57	10,43	1900	8,05	7,34	29,30
BASK765C005Q4	1,38	10,90	2000	9,88	7,93	30,44

Sumber : LAI : Data Primer

H, THA, BA, DQ, SI : Data Sekunder

Lampiran 4. Pengukuran LAI di Lapangan

Contoh Cara Pengambilan Foto Hemispherical LAI di Lapangan

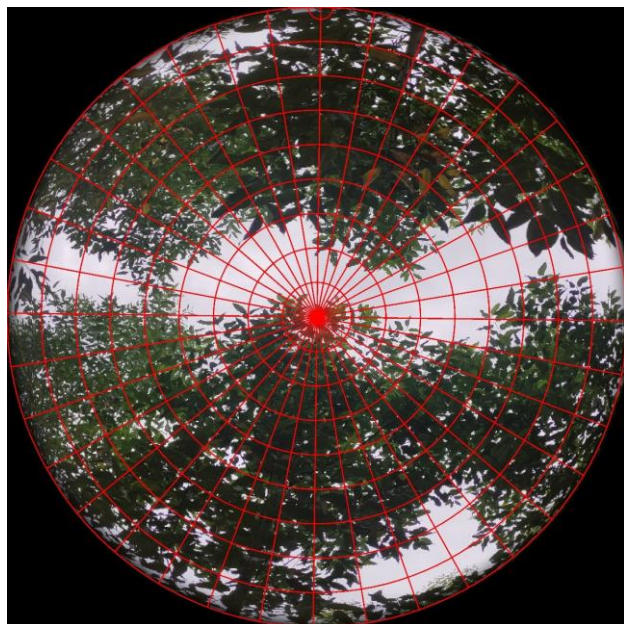


Contoh Hasil Foto LAI dengan Filter Fisheye dari Aplikasi Cameringo⁺



Lanjutan Lampiran 4.

Tampilan Analisis Menggunakan *Gap Light Analyzer*



Contoh Output Nilai LAI Hasil Analisis Menggunakan *Gap Light Analyzer*

GLA Calculation Summary Results	
* Sky Area:	99,89
* Mask Area:	0,11
* Canopy Openness:	23,41
* Site Openness:	23,41
LAI 4 Ring:	2,07
LAI 5 Ring:	1,65
Units:	Mols m ⁻² d ⁻¹
RB:	1
RD:	1
Extra (Wm ⁻²):	294,74
Above Direct:	14,64
Above Diffuse:	14,64
Above Total:	29,29
Above Direct Mask:	14,64
Above Diffuse Mask:	14,64
Above Total Mask:	29,28
Trans Direct:	1,45
Trans Diffuse:	4
Trans Total:	5,45
* Trans Direct:	9,91
* Trans Diffuse:	27,3
* Trans Total:	18,61
User Field	<input type="text"/>
User Field	<input type="text"/>
User Field	<input type="text"/>
	<input type="button" value="Append"/> <input type="button" value="OK"/>

Lampiran 5. Hasil Analisis Korelasi

Data Keseluruhan (100%)

Correlations

		LAI	H	THA	BA	DQ	SI
LAI	Pearson Correlation	1	.070	.219*	.217*	.118	.111
	Sig. (2-tailed)		.446	.016	.017	.200	.226
	N	120	120	120	120	120	120
HEIGHT	Pearson Correlation	.070	1	.097	.805**	.874**	.872**
	Sig. (2-tailed)	.446		.291	.000	.000	.000
	N	120	120	120	120	120	120
THA	Pearson Correlation	.219*	.097	1	.498**	-.047	.152
	Sig. (2-tailed)	.016	.291		.000	.614	.098
	N	120	120	120	120	120	120
BA	Pearson Correlation	.217*	.805**	.498**	1	.828**	.738**
	Sig. (2-tailed)	.017	.000	.000		.000	.000
	N	120	120	120	120	120	120
DQ	Pearson Correlation	.118	.874**	-.047	.828**	1	.751**
	Sig. (2-tailed)	.200	.000	.614	.000		.000
	N	120	120	120	120	120	120
SI	Pearson Correlation	.111	.872**	.152	.738**	.751**	1
	Sig. (2-tailed)	.226	.000	.098	.000	.000	
	N	120	120	120	120	120	120

*. Correlation is significant at the 0.05 level (2-tailed).

**. Correlation is significant at the 0.01 level (2-tailed).

Data Pengujian (75%)

Correlations

		LAI	H	THA	BA	DQ	SI
LAI	Pearson Correlation	1	.026	.308**	.295**	.130	.050

Lanjutan Lampiran 5.

		LAI	H	THA	BA	DQ	SI
	Sig. (2-tailed)		.810	.003	.005	.223	.640
	N	89	89	89	89	89	89
Height	Pearson Correlation	.026	1	.022	.792**	.875**	.863**
	Sig. (2-tailed)	.810		.840	.000	.000	.000
	N	89	89	89	89	89	89
THA	Pearson Correlation	.308**	.022	1	.456**	-.127	.060
	Sig. (2-tailed)	.003	.840		.000	.237	.574
	N	89	89	89	89	89	89
BA	Pearson Correlation	.295**	.792**	.456**	1	.810**	.697**
	Sig. (2-tailed)	.005	.000	.000		.000	.000
	N	89	89	89	89	89	89
DQ	Pearson Correlation	.130	.875**	-.127	.810**	1	.734**
	Sig. (2-tailed)	.223	.000	.237	.000		.000
	N	89	89	89	89	89	89
SI	Pearson Correlation	.050	.863**	.060	.697**	.734**	1
	Sig. (2-tailed)	.640	.000	.574	.000	.000	
	N	89	89	89	89	89	89

**. Correlation is significant at the 0.01 level (2-tailed).

Data Validasi (25%)

Correlations

		LAI	H	THA	BA	DQ	SI
LAI	Pearson Correlation	1	.310	.035	.224	.284	.347
	Sig. (2-tailed)		.102	.858	.243	.135	.065
	N	29	29	29	29	29	29
HEIGHT	Pearson Correlation	.310	1	.376*	.851**	.880**	.901**
	Sig. (2-tailed)	.102		.044	.000	.000	.000
	N	29	29	29	29	29	29
THA	Pearson Correlation	.035	.376*	1	.657**	.266	.505**

Lanjutan Lampiran 5.

		LAI	H	THA	BA	DQ	SI
	Sig. (2-tailed)	.858	.044		.000	.164	.005
	N	29	29	29	29	29	29
BA	Pearson Correlation	.224	.851**	.657**	1	.891**	.868**
	Sig. (2-tailed)	.243	.000	.000		.000	.000
	N	29	29	29	29	29	29
DQ	Pearson Correlation	.284	.880**	.266	.891**	1	.814**
	Sig. (2-tailed)	.135	.000	.164	.000		.000
	N	29	29	29	29	29	29
SI	Pearson Correlation	.347	.901**	.505**	.868**	.814**	1
	Sig. (2-tailed)	.065	.000	.005	.000	.000	
	N	29	29	29	29	29	29

*. Correlation is significant at the 0.05 level (2-tailed).

**. Correlation is significant at the 0.01 level (2-tailed).

Lampiran 6. Analisis Regresi Linear Berganda

Model Summary

Model	R	R Square	Adjusted R Square	Std. Error of the Estimate	Change Statistics				
					R Square Change	F Change	df1	df2	Sig. F Change
1	.459 ^a	.210	.163	.2751671	.210	4.423	5	83	.001
2	.456 ^b	.208	.171	.2738791	-.002	.215	1	83	.644
3	.453 ^c	.205	.177	.2728476	-.003	.361	1	84	.550

a. Predictors: (Constant), SI, THA, DQ, Height, BA

b. Predictors: (Constant), THA, DQ, Height, BA

c. Predictors: (Constant), THA, DQ, Height

Model	R	R Square	Adjusted R Square	Std. Error of the Estimate	Change Statistics				
					R Square Change	F Change	df1	df2	Sig. F Change
1	.459 ^a	0,2104	0,1628	0,2752	0,2104	4,4226	5	83	0,0013

a. Predictors: (Constant), SI, THA, DQ, Height, BAHA

Model	R	R Square	Adjusted R Square	Std. Error of the Estimate	Change Statistics				
					R Square Change	F Change	df1	df2	Sig. F Change
1	.456a	0,2083	0,1706	0,2739	0,2083	5,5260	4	84	0,0005

a. Predictors: (Constant), DQ, THA, Height, BAHA

Model	R	R Square	Adjusted R Square	Std. Error of the Estimate	Change Statistics				
					R Square Change	F Change	df1	df2	Sig. F Change
1	.453 ^a	0,2049	0,1769	0,2728	0,2049	7,3025	3	85	0,0002

a. Predictors: (Constant), DQ, THA, Height

Coefficients^a

Model	Unstandardized Coefficients		Standardized Coefficients	t	Sig.	Collinearity Statistics	
	B	Std. Error	Beta			Tolerance	VIF
1 (Constant)	.386	1.308		.295	.769		
H	-.127	.049	-.706	-2.561	.012	.125	7.991

Lanjutan Lampiran 6.

THA	.000	.000	.225	.640	.524	.077	12.997
BA	.047	.085	.328	.548	.585	.027	37.630
DQ	.133	.165	.445	.806	.422	.031	32.030
SI	.009	.018	.090	.464	.644	.251	3.989
2 (Constant)	.550	1.254		.438	.662		
H	-.112	.038	-.624	-2.971	.004	.214	4.678
THA	.000	.000	.212	.608	.545	.077	12.916
BA	.051	.084	.356	.601	.550	.027	37.250
DQ	.124	.163	.415	.761	.449	.032	31.591
3 (Constant)	-.174	.349		-.497	.620		
Height	-.110	.037	-.611	-2.936	.004	.216	4.631
THA	.001	.000	.413	4.066	.000	.909	1.100
DQ	.214	.063	.717	3.420	.001	.213	4.704

a. Dependent Variable: LAI

ANOVA^a

Model		Sum of Squares	df	Mean Square	F	Sig.
1	Regression	1.674	5	.335	4.423	.001 ^b
	Residual	6.285	83	.076		
	Total	7.959	88			
2	Regression	1.658	4	.415	5.526	.001 ^c
	Residual	6.301	84	.075		
	Total	7.959	88			
3	Regression	1.631	3	.544	7.303	.000 ^d
	Residual	6.328	85	.074		
	Total	7.959	88			

a. Dependent Variable: LAI

b. Predictors: (Constant), SI, THA, DQ, Height, BA

c. Predictors: (Constant), THA, DQ, Height, BA

d. Predictors: (Constant), THA, DQ, Height

Perhitungan %error, Akurasi dan RMSE

LAI	%error	Selisih	Akurasi	RMSE
1,30	32%	0,000	68%	
1,20	26%	0,004	74%	
1,26	42%	0,025	58%	
1,47	5%	0,178	95%	
1,19	8%	0,012	92%	
0,90	19%	0,081	81%	

Lanjutan Lampiran 6.

LAI	%error	Selisih	Akurasi	RMSE
0,89	30%	0,164	70%	
1,29	13%	0,027	87%	
1,54	30%	0,056	70%	
0,70	39%	0,475	61%	
1,29	33%	0,002	67%	
1,02	24%	0,047	76%	
1,55	7%	0,233	93%	
1,71	17%	0,292	83%	
1,24	9%	0,022	91%	
1,05	39%	0,113	61%	
1,18	2%	0,040	98%	
0,78	2%	0,057	98%	
0,58	29%	0,510	71%	
1,53	51%	0,000	49%	
1,56	37%	0,036	63%	
1,93	26%	0,443	74%	
1,38	49%	0,011	51%	
1,30	16%	0,019	84%	
1,81	35%	0,208	65%	
1,67	13%	0,291	87%	
1,60	16%	0,191	84%	
1,57	19%	0,146	81%	
1,38	33%	0,003	67%	
	30,74%	3,686	69,26%	0,3565

Lampiran 7. Uji Asumsi Klasik
 Uji Normalitas (Kolmogorov-Smirnov)

One-Sample Kolmogorov-Smirnov Test

		Unstandardized Residual
N		120
Normal Parameters ^{a,b}	Mean	0,0000
	Std. Deviation	0,3166
Most Extreme Differences	Absolute	0,0333
	Positive	0,0329
	Negative	-0,0333
Test Statistic		0,0333
Asymp. Sig. (2-tailed)		.200 ^{c,d}

- a. Test distribution is Normal.
- b. Calculated from data.
- c. Lilliefors Significance Correction.
- d. This is a lower bound of the true significance.

Uji Multikolinearitas

Coefficients^a

Model	Collinearity Statistics	
	Tolerance	VIF
1 (Constant)		
Height	.125	7.991
THA	.077	12.997
BA	.027	37.630
DQ	.031	32.030
SI	.251	3.989
2 (Constant)		
Height	.214	4.678
THA	.077	12.916
BA	.027	37.250
DQ	.032	31.591
3 (Constant)		
Height	.216	4.631
THA	.909	1.100
DQ	.213	4.704

- a. Dependent Variable: LAI

Lanjutan Lampiran 7.

Uji Heteroskedastisitas Model 1

Coefficients^a

Model	Unstandardized Coefficients		Standardized Coefficients	t	Sig.
	B	Std. Error	Beta		
1 (Constant)	.341	.740		.460	.647
Height	.030	.028	.331	1.087	.280
THA	3.828E-5	.000	.061	.158	.875
BA	-.021	.048	-.283	-.430	.669
DQ	.002	.093	.016	.026	.979
SI	-.012	.010	-.239	-1.115	.268

a. Dependent Variable: ABS_Res

Uji Heteroskedastisitas Model 2

Coefficients^a

Model	Unstandardized Coefficients		Standardized Coefficients	t	Sig.
	B	Std. Error	Beta		
1 (Constant)	.122	.712		.171	.865
Height	.010	.021	.108	.463	.644
THA	6.286E-5	.000	.101	.260	.795
BA	-.027	.048	-.374	-.569	.571
DQ	.015	.092	.100	.166	.869

a. Dependent Variable: ABS_Res

Uji Heteroskedastisitas Model 3

Coefficients^a

Model	Unstandardized Coefficients		Standardized Coefficients	t	Sig.
	B	Std. Error	Beta		
1 (Constant)	.483	.198		2.440	.017
Height	.007	.021	.077	.336	.738
THA	-6.160E-5	.000	-.099	-.878	.382
DQ	-.029	.035	-.191	-.820	.414

a. Dependent Variable: ABS_Res

Lampiran 8. Artificial Neural Network Varian 1L3N

Varian 1L3N (Ulangan 1)

LAI	H	THA	BA	DQ	SI	LAI_Pred	%error	Selisih	Akurasi(%)	RMSE
1,30	12,1	1800	11,0	8,8	33,0	1,14	14	0,025	86	
1,20	11,8	1800	10,3	8,6	30,7	1,19	19	0,000	81	
1,26	11,8	2000	11,6	8,6	34,3	1,26	26	0,000	74	
1,47	12,4	1400	8,7	8,9	31,0	0,95	5	0,274	95	
1,19	11,8	1400	8,3	8,7	31,1	0,96	4	0,053	96	
0,90	12,4	1600	10,1	9,0	31,9	1,04	4	0,020	96	
0,89	11,8	1700	10,4	8,8	32,2	1,11	11	0,047	89	
1,29	12,0	1600	9,1	8,5	31,3	1,04	4	0,062	96	
1,54	7,9	1700	6,6	7,0	24,9	1,15	15	0,151	85	
0,70	6,6	1700	6,0	6,7	24,9	1,03	3	0,112	97	
1,29	8,7	1700	7,7	7,6	25,1	1,32	32	0,001	68	
1,02	8,5	1500	6,6	7,5	25,4	1,17	17	0,024	83	
1,55	9,3	1300	5,9	7,6	25,6	0,97	3	0,334	97	
1,71	7,5	1300	4,9	7,0	25,7	1,04	4	0,452	96	
1,24	9,7	1300	6,6	8,0	24,3	0,97	3	0,075	97	
1,05	9,7	1600	9,1	8,5	26,7	1,20	20	0,024	80	
1,18	7,0	1400	3,4	5,6	22,9	0,69	31	0,242	69	
0,78	7,6	1400	4,1	6,1	23,5	0,78	22	0,000	78	
0,58	7,9	1400	6,3	7,6	25,5	1,12	12	0,289	88	
1,53	11,2	1700	11,9	9,4	32,0	1,13	13	0,156	87	
1,56	11,3	1500	10,3	9,4	32,7	1,05	5	0,262	95	
1,93	11,1	1400	9,2	9,2	30,2	0,99	1	0,875	99	
1,38	12,3	1900	12,9	9,3	34,2	1,18	18	0,041	82	
1,30	9,5	1500	6,7	7,5	30,5	1,06	6	0,057	94	
1,81	11,2	1800	10,3	8,5	32,9	1,17	17	0,409	83	
1,67	11,1	1500	8,0	8,2	32,5	1,02	2	0,427	98	
1,60	10,9	1600	8,2	8,1	31,4	1,07	7	0,279	93	
1,57	10,4	1900	8,0	7,3	29,3	1,42	4	0,024	58	
1,38	10,9	2000	9,9	7,9	30,4	1,46	46	0,006	54	
							14	4,721	86	0,4035

Varian 1L3N (Ulangan 2)

LAI	H	THA	BA	DQ	SI	LAI_Pred	%error	Selisih	Akurasi (%)	RMSE
1,30	12,1	1800	11,0	8,8	33,0	1,14	14	0,025	86	
1,20	11,8	1800	10,3	8,6	30,7	1,18	18	0,000	82	
1,26	11,8	2000	11,6	8,6	34,3	1,31	31	0,002	69	

Lanjutan Lampiran 8.

LAI	H	THA	BA	DQ	SI	LAI_Pred	%error	Selisih	Akurasi (%)	RMSE
1,47	12,4	1400	8,7	8,9	31,0	0,90	10	0,325	90	
1,19	11,8	1400	8,3	8,7	31,1	0,93	7	0,069	93	
0,90	12,4	1600	10,1	9,0	31,9	1,02	2	0,013	98	
0,89	11,8	1700	10,4	8,8	32,2	1,10	10	0,046	90	
1,29	12,0	1600	9,1	8,5	31,3	1,02	2	0,073	98	
1,54	7,9	1700	6,6	7,0	24,9	1,16	16	0,145	84	
0,70	6,6	1700	6,0	6,7	24,9	1,05	5	0,120	95	
1,29	8,7	1700	7,7	7,6	25,1	1,31	31	0,000	69	
1,02	8,5	1500	6,6	7,5	25,4	1,16	16	0,019	84	
1,55	9,3	1300	5,9	7,6	25,6	0,98	2	0,328	98	
1,71	7,5	1300	4,9	7,0	25,7	1,06	6	0,424	94	
1,24	9,7	1300	6,6	8,0	24,3	0,97	3	0,075	97	
1,05	9,7	1600	9,1	8,5	26,7	1,20	20	0,022	80	
1,18	7,0	1400	3,4	5,6	22,9	0,69	31	0,237	69	
0,78	7,6	1400	4,1	6,1	23,5	0,80	20	0,000	80	
0,58	7,9	1400	6,3	7,6	25,5	1,13	13	0,300	87	
1,53	11,2	1700	11,9	9,4	32,0	1,15	15	0,145	85	
1,56	11,3	1500	10,3	9,4	32,7	1,05	5	0,259	95	
1,93	11,1	1400	9,2	9,2	30,2	1,00	0	0,873	100	
1,38	12,3	1900	12,9	9,3	34,2	1,19	19	0,034	81	
1,30	9,5	1500	6,7	7,5	30,5	1,08	8	0,050	92	
1,81	11,2	1800	10,3	8,5	32,9	1,18	18	0,394	82	
1,67	11,1	1500	8,0	8,2	32,5	1,01	1	0,441	99	
1,60	10,9	1600	8,2	8,1	31,4	1,07	7	0,282	93	
1,57	10,4	1900	8,0	7,3	29,3	1,40	40	0,029	60	
1,38	10,9	2000	9,9	7,9	30,4	1,46	46	0,006	54	
							14	4,736	86	0,3972

Varian 1L3N (Ulangan 3)

LAI	H	THA	BA	DQ	SI	LAI_Pred	%error	Selisih	Akurasi (%)	RMSE
1,30	12,1	1800	11,0	8,8	33,0	1,12	12	0,031	88	
1,20	11,8	1800	10,3	8,6	30,7	1,14	14	0,004	86	
1,26	11,8	2000	11,6	8,6	34,3	1,23	23	0,001	77	
1,47	12,4	1400	8,7	8,9	31,0	0,99	1	0,233	99	
1,19	11,8	1400	8,3	8,7	31,1	0,99	1	0,039	99	
0,90	12,4	1600	10,1	9,0	31,9	1,05	5	0,023	95	
0,89	11,8	1700	10,4	8,8	32,2	1,10	10	0,043	90	
1,29	12,0	1600	9,1	8,5	31,3	1,04	4	0,060	96	
1,54	7,9	1700	6,6	7,0	24,9	1,14	14	0,161	86	

Lanjutan Lampiran 8.

LAI	H	THA	BA	DQ	SI	LAI_Pred	%error	Selisih	Akurasi (%)	RMSE
0,70	6,6	1700	6,0	6,7	24,9	0,96	4	0,067	96	
1,29	8,7	1700	7,7	7,6	25,1	1,27	27	0,000	73	
1,02	8,5	1500	6,6	7,5	25,4	1,15	15	0,018	85	
1,55	9,3	1300	5,9	7,6	25,6	0,99	1	0,313	99	
1,71	7,5	1300	4,9	7,0	25,7	1,08	8	0,398	92	
1,24	9,7	1300	6,6	8,0	24,3	0,98	2	0,068	98	
1,05	9,7	1600	9,1	8,5	26,7	1,17	17	0,015	83	
1,18	7,0	1400	3,4	5,6	22,9	0,70	30	0,234	70	
0,78	7,6	1400	4,1	6,1	23,5	0,83	17	0,002	83	
0,58	7,9	1400	6,3	7,6	25,5	1,14	14	0,317	86	
1,53	11,2	1700	11,9	9,4	32,0	1,13	13	0,158	87	
1,56	11,3	1500	10,3	9,4	32,7	1,05	5	0,256	95	
1,93	11,1	1400	9,2	9,2	30,2	1,01	1	0,840	99	
1,38	12,3	1900	12,9	9,3	34,2	1,17	17	0,045	83	
1,30	9,5	1500	6,7	7,5	30,5	1,07	7	0,053	93	
1,81	11,2	1800	10,3	8,5	32,9	1,16	16	0,427	84	
1,67	11,1	1500	8,0	8,2	32,5	1,02	2	0,417	98	
1,60	10,9	1600	8,2	8,1	31,4	1,06	6	0,287	94	
1,57	10,4	1900	8,0	7,3	29,3	1,32	32	0,064	68	
1,38	10,9	2000	9,9	7,9	30,4	1,36	36	0,000	64	
							12	4,575	88	0,3972

Varian 1L3N (Ulangan 4)

LAI	H	THA	BA	DQ	SI	LAI_Pred	%error	Selisih	Akurasi (%)	RMSE
1,30	12,1	1800	11,0	8,8	33,0	1,11	11	0,038	89	
1,20	11,8	1800	10,3	8,6	30,7	1,13	13	0,005	87	
1,26	11,8	2000	11,6	8,6	34,3	1,23	23	0,001	77	
1,47	12,4	1400	8,7	8,9	31,0	0,95	5	0,273	95	
1,19	11,8	1400	8,3	8,7	31,1	0,96	4	0,052	96	
0,90	12,4	1600	10,1	9,0	31,9	1,00	0	0,010	100	
0,89	11,8	1700	10,4	8,8	32,2	1,08	8	0,038	92	
1,29	12,0	1600	9,1	8,5	31,3	1,01	1	0,081	99	
1,54	7,9	1700	6,6	7,0	24,9	1,16	16	0,144	84	
0,70	6,6	1700	6,0	6,7	24,9	1,04	4	0,117	96	
1,29	8,7	1700	7,7	7,6	25,1	1,28	28	0,000	72	
1,02	8,5	1500	6,6	7,5	25,4	1,20	20	0,034	80	
1,55	9,3	1300	5,9	7,6	25,6	1,05	5	0,249	95	
1,71	7,5	1300	4,9	7,0	25,7	1,14	14	0,319	86	
1,24	9,7	1300	6,6	8,0	24,3	1,05	5	0,035	95	

Lanjutan Lampiran 8.

LAI	H	THA	BA	DQ	SI	LAI_Pred	%error	Selisih	Akurasi (%)	RMSE
1,05	9,7	1600	9,1	8,5	26,7	1,26	26	0,046	74	
1,18	7,0	1400	3,4	5,6	22,9	0,69	31	0,243	69	
0,78	7,6	1400	4,1	6,1	23,5	0,80	20	0,000	80	
0,58	7,9	1400	6,3	7,6	25,5	1,23	23	0,424	77	
1,53	11,2	1700	11,9	9,4	32,0	1,20	20	0,107	80	
1,56	11,3	1500	10,3	9,4	32,7	1,05	5	0,258	95	
1,93	11,1	1400	9,2	9,2	30,2	1,02	2	0,825	98	
1,38	12,3	1900	12,9	9,3	34,2	1,20	20	0,033	80	
1,30	9,5	1500	6,7	7,5	30,5	1,09	9	0,046	91	
1,81	11,2	1800	10,3	8,5	32,9	1,16	16	0,417	84	
1,67	11,1	1500	8,0	8,2	32,5	1,00	0	0,452	100	
1,60	10,9	1600	8,2	8,1	31,4	1,05	5	0,301	95	
1,57	10,4	1900	8,0	7,3	29,3	1,22	22	0,120	78	
1,38	10,9	2000	9,9	7,9	30,4	1,29	29	0,007	71	
							13	4,676	87	0,4016

Varian 1L3N (Ulangan 5)

LAI	H	THA	BA	DQ	SI	LAI_Pred	%error	Selisih	Akurasi(%)	RMSE
1,30	12,1	1800	11,0	8,8	33,0	1,10	10	0,040	90	
1,20	11,8	1800	10,3	8,6	30,7	1,11	11	0,008	89	
1,26	11,8	2000	11,6	8,6	34,3	1,23	23	0,001	77	
1,47	12,4	1400	8,7	8,9	31,0	0,94	6	0,279	94	
1,19	11,8	1400	8,3	8,7	31,1	0,96	4	0,053	96	
0,90	12,4	1600	10,1	9,0	31,9	1,00	0	0,009	100	
0,89	11,8	1700	10,4	8,8	32,2	1,08	8	0,035	92	
1,29	12,0	1600	9,1	8,5	31,3	1,00	0	0,082	100	
1,54	7,9	1700	6,6	7,0	24,9	0,91	9	0,391	91	
0,70	6,6	1700	6,0	6,7	24,9	0,90	10	0,041	90	
1,29	8,7	1700	7,7	7,6	25,1	1,33	33	0,001	67	
1,02	8,5	1500	6,6	7,5	25,4	1,21	21	0,038	79	
1,55	9,3	1300	5,9	7,6	25,6	1,04	4	0,257	96	
1,71	7,5	1300	4,9	7,0	25,7	1,15	15	0,313	85	
1,24	9,7	1300	6,6	8,0	24,3	1,03	3	0,043	97	
1,05	9,7	1600	9,1	8,5	26,7	1,22	22	0,030	78	
1,18	7,0	1400	3,4	5,6	22,9	0,74	26	0,198	74	
0,78	7,6	1400	4,1	6,1	23,5	0,72	28	0,003	72	
0,58	7,9	1400	6,3	7,6	25,5	1,23	23	0,424	77	
1,53	11,2	1700	11,9	9,4	32,0	1,18	18	0,124	82	
1,56	11,3	1500	10,3	9,4	32,7	1,05	5	0,258	95	

Lanjutan Lampiran 8.

LAI	H	THA	BA	DQ	SI	LAI_Pred	%error	Selisih	Akurasi(%)	RMSE
1,93	11,1	1400	9,2	9,2	30,2	1,02	2	0,833	98	
1,38	12,3	1900	12,9	9,3	34,2	1,18	18	0,039	82	
1,30	9,5	1500	6,7	7,5	30,5	1,10	10	0,040	90	
1,81	11,2	1800	10,3	8,5	32,9	1,16	16	0,419	84	
1,67	11,1	1500	8,0	8,2	32,5	1,01	1	0,439	99	
1,60	10,9	1600	8,2	8,1	31,4	1,06	6	0,294	94	
1,57	10,4	1900	8,0	7,3	29,3	1,24	24	0,110	76	
1,38	10,9	2000	9,9	7,9	30,4	1,29	29	0,008	71	
							13	4,811	87	0,4073

Rekapitulasi Varian 1L3N

Pengulangan	%error	Akurasi (%)	RMSE
1	14,02%	85,98%	0,4035
2	14,36%	85,64%	0,4041
3	12,35%	87,65%	0,3972
4	13,40%	86,60%	0,4016
5	13,32%	86,68%	0,4073
Rata - rata	13,49%	86,51%	0,4027

Lampiran 9. Artificial Neural Network Varian 2L3N2N

Varian 2L3N2N (Ulangan 1)

LAI	H	THA	BA	DQ	SI	LAI_Pred	%error	Selisih	Akurasi (%)	RMSE
1,30	12,1	1800	11,0	8,8	33,0	1,12	12	0,033	88	
1,20	11,8	1800	10,3	8,6	30,7	1,14	14	0,004	86	
1,26	11,8	2000	11,6	8,6	34,3	1,26	26	0,000	74	
1,47	12,4	1400	8,7	8,9	31,0	1,00	0	0,219	100	
1,19	11,8	1400	8,3	8,7	31,1	1,01	1	0,033	99	
0,90	12,4	1600	10,1	9,0	31,9	1,03	3	0,018	97	
0,89	11,8	1700	10,4	8,8	32,2	1,09	9	0,040	91	
1,29	12,0	1600	9,1	8,5	31,3	1,04	4	0,064	96	
1,54	7,9	1700	6,6	7,0	24,9	1,11	11	0,187	89	
0,70	6,6	1700	6,0	6,7	24,9	0,94	6	0,057	94	
1,29	8,7	1700	7,7	7,6	25,1	1,29	29	0,000	71	
1,02	8,5	1500	6,6	7,5	25,4	1,16	16	0,019	84	
1,55	9,3	1300	5,9	7,6	25,6	1,04	4	0,258	96	
1,71	7,5	1300	4,9	7,0	25,7	1,05	5	0,433	95	
1,24	9,7	1300	6,6	8,0	24,3	1,04	4	0,039	96	
1,05	9,7	1600	9,1	8,5	26,7	1,23	23	0,032	77	
1,18	7,0	1400	3,4	5,6	22,9	0,75	25	0,188	75	
0,78	7,6	1400	4,1	6,1	23,5	0,76	24	0,000	76	
0,58	7,9	1400	6,3	7,6	25,5	1,17	17	0,349	83	
1,53	11,2	1700	11,9	9,4	32,0	1,18	18	0,121	82	
1,56	11,3	1500	10,3	9,4	32,7	1,05	5	0,255	95	
1,93	11,1	1400	9,2	9,2	30,2	1,03	3	0,802	97	
1,38	12,3	1900	12,9	9,3	34,2	1,21	21	0,028	79	
1,30	9,5	1500	6,7	7,5	30,5	1,08	8	0,047	92	
1,81	11,2	1800	10,3	8,5	32,9	1,16	16	0,416	84	
1,67	11,1	1500	8,0	8,2	32,5	1,03	3	0,411	97	
1,60	10,9	1600	8,2	8,1	31,4	1,06	6	0,288	94	
1,57	10,4	1900	8,0	7,3	29,3	1,24	24	0,108	76	
1,38	10,9	2000	9,9	7,9	30,4	1,32	32	0,003	68	
							13	4,454	87	0,3919

Varian 2L3N2N (Ulangan 2)

LAI	H	THA	BA	DQ	SI	LAI_Pred	%error	Selisih	Akurasi (%)	RMSE
1,30	12,1	1800	11,0	8,8	33,0	1,19	19	0,012	81	
1,20	11,8	1800	10,3	8,6	30,7	0,86	14	0,116	86	
1,26	11,8	2000	11,6	8,6	34,3	1,36	36	0,009	64	

Lanjutan Lampiran 9.

LAI	H	THA	BA	DQ	SI	LAI_Pred	%error	Selisih	Akurasi (%)	RMSE
1,47	12,4	1400	8,7	8,9	31,0	0,97	3	0,251	97	
1,19	11,8	1400	8,3	8,7	31,1	1,01	1	0,033	99	
0,90	12,4	1600	10,1	9,0	31,9	0,94	6	0,002	94	
0,89	11,8	1700	10,4	8,8	32,2	0,99	1	0,010	99	
1,29	12,0	1600	9,1	8,5	31,3	1,12	12	0,029	88	
1,54	7,9	1700	6,6	7,0	24,9	0,78	22	0,581	78	
0,70	6,6	1700	6,0	6,7	24,9	1,10	10	0,159	90	
1,29	8,7	1700	7,7	7,6	25,1	1,24	24	0,002	76	
1,02	8,5	1500	6,6	7,5	25,4	1,31	31	0,085	69	
1,55	9,3	1300	5,9	7,6	25,6	0,97	3	0,338	97	
1,71	7,5	1300	4,9	7,0	25,7	1,16	16	0,300	84	
1,24	9,7	1300	6,6	8,0	24,3	1,13	13	0,012	87	
1,05	9,7	1600	9,1	8,5	26,7	1,13	13	0,006	87	
1,18	7,0	1400	3,4	5,6	22,9	0,67	33	0,258	67	
0,78	7,6	1400	4,1	6,1	23,5	0,67	33	0,013	67	
0,58	7,9	1400	6,3	7,6	25,5	1,18	18	0,356	82	
1,53	11,2	1700	11,9	9,4	32,0	1,16	16	0,138	84	
1,56	11,3	1500	10,3	9,4	32,7	1,09	9	0,216	91	
1,93	11,1	1400	9,2	9,2	30,2	1,07	7	0,746	93	
1,38	12,3	1900	12,9	9,3	34,2	1,07	7	0,094	93	
1,30	9,5	1500	6,7	7,5	30,5	1,10	10	0,042	90	
1,81	11,2	1800	10,3	8,5	32,9	1,05	5	0,583	95	
1,67	11,1	1500	8,0	8,2	32,5	1,05	5	0,389	95	
1,60	10,9	1600	8,2	8,1	31,4	0,98	2	0,385	98	
1,57	10,4	1900	8,0	7,3	29,3	0,90	10	0,445	90	
1,38	10,9	2000	9,9	7,9	30,4	1,03	3	0,120	97	
							13	5,732	87	

Varian 2L3N2N (Ulangan 3)

LAI	H	THA	BA	DQ	SI	LAI_Pred	%error	Selisih	Akurasi (%)	RMSE
1,30	12,1	1800	11,0	8,8	33,0	1,15	15	0,023	85	
1,20	11,8	1800	10,3	8,6	30,7	1,14	14	0,003	86	
1,26	11,8	2000	11,6	8,6	34,3	1,22	22	0,002	78	
1,47	12,4	1400	8,7	8,9	31,0	0,99	1	0,231	99	
1,19	11,8	1400	8,3	8,7	31,1	0,99	1	0,038	99	
0,90	12,4	1600	10,1	9,0	31,9	1,06	6	0,026	94	
0,89	11,8	1700	10,4	8,8	32,2	1,11	11	0,050	89	
1,29	12,0	1600	9,1	8,5	31,3	1,05	5	0,057	95	
1,54	7,9	1700	6,6	7,0	24,9	0,88	12	0,439	88	

Lanjutan Lampiran 9.

LAI	H	THA	BA	DQ	SI	LAI_Pred	%error	Selisih	Akurasi (%)	RMSE
0,70	6,6	1700	6,0	6,7	24,9	0,83	17	0,017	83	
1,29	8,7	1700	7,7	7,6	25,1	1,36	36	0,005	64	
1,02	8,5	1500	6,6	7,5	25,4	1,22	22	0,041	78	
1,55	9,3	1300	5,9	7,6	25,6	1,02	2	0,277	98	
1,71	7,5	1300	4,9	7,0	25,7	1,15	15	0,311	85	
1,24	9,7	1300	6,6	8,0	24,3	1,01	1	0,053	99	
1,05	9,7	1600	9,1	8,5	26,7	1,15	15	0,010	85	
1,18	7,0	1400	3,4	5,6	22,9	0,83	17	0,124	83	
0,78	7,6	1400	4,1	6,1	23,5	0,83	17	0,002	83	
0,58	7,9	1400	6,3	7,6	25,5	1,19	19	0,368	81	
1,53	11,2	1700	11,9	9,4	32,0	1,16	16	0,136	84	
1,56	11,3	1500	10,3	9,4	32,7	1,07	7	0,243	93	
1,93	11,1	1400	9,2	9,2	30,2	1,02	2	0,821	98	
1,38	12,3	1900	12,9	9,3	34,2	1,21	21	0,031	79	
1,30	9,5	1500	6,7	7,5	30,5	1,07	7	0,054	93	
1,81	11,2	1800	10,3	8,5	32,9	1,16	16	0,426	84	
1,67	11,1	1500	8,0	8,2	32,5	1,02	2	0,418	98	
1,60	10,9	1600	8,2	8,1	31,4	1,06	6	0,288	94	
1,57	10,4	1900	8,0	7,3	29,3	1,29	29	0,077	71	
1,38	10,9	2000	9,9	7,9	30,4	1,27	27	0,012	73	
							13	4,582	87	

Varian 2L3N2N (Ulangan 4)

LAI	H	THA	BA	DQ	SI	LAI_Pred	%error	Selisih	Akurasi (%)	RMSE
1,30	12,1	1800	11,0	8,8	33,0	1,13	13	0,027	87	
1,20	11,8	1800	10,3	8,6	30,7	1,15	15	0,002	85	
1,26	11,8	2000	11,6	8,6	34,3	1,24	24	0,000	76	
1,47	12,4	1400	8,7	8,9	31,0	1,00	0	0,220	100	
1,19	11,8	1400	8,3	8,7	31,1	1,01	1	0,034	99	
0,90	12,4	1600	10,1	9,0	31,9	1,06	6	0,025	94	
0,89	11,8	1700	10,4	8,8	32,2	1,10	10	0,046	90	
1,29	12,0	1600	9,1	8,5	31,3	1,06	6	0,052	94	
1,54	7,9	1700	6,6	7,0	24,9	0,89	11	0,418	89	
0,70	6,6	1700	6,0	6,7	24,9	0,83	17	0,018	83	
1,29	8,7	1700	7,7	7,6	25,1	1,37	37	0,007	63	
1,02	8,5	1500	6,6	7,5	25,4	1,15	15	0,018	85	
1,55	9,3	1300	5,9	7,6	25,6	1,01	1	0,286	99	
1,71	7,5	1300	4,9	7,0	25,7	0,95	5	0,578	95	
1,24	9,7	1300	6,6	8,0	24,3	1,01	1	0,052	99	

Lanjutan Lampiran 9.

LAI	H	THA	BA	DQ	SI	LAI_Pred	%error	Selisih	Akurasi (%)	RMSE
1,05	9,7	1600	9,1	8,5	26,7	1,17	17	0,016	83	
1,18	7,0	1400	3,4	5,6	22,9	0,83	17	0,120	83	
0,78	7,6	1400	4,1	6,1	23,5	0,83	17	0,003	83	
0,58	7,9	1400	6,3	7,6	25,5	1,09	9	0,261	91	
1,53	11,2	1700	11,9	9,4	32,0	1,12	12	0,168	88	
1,56	11,3	1500	10,3	9,4	32,7	1,04	4	0,275	96	
1,93	11,1	1400	9,2	9,2	30,2	1,01	1	0,841	99	
1,38	12,3	1900	12,9	9,3	34,2	1,17	17	0,045	83	
1,30	9,5	1500	6,7	7,5	30,5	1,07	7	0,053	93	
1,81	11,2	1800	10,3	8,5	32,9	1,16	16	0,425	84	
1,67	11,1	1500	8,0	8,2	32,5	1,04	4	0,403	96	
1,60	10,9	1600	8,2	8,1	31,4	1,08	8	0,272	92	
1,57	10,4	1900	8,0	7,3	29,3	1,38	38	0,034	62	
1,38	10,9	2000	9,9	7,9	30,4	1,41	41	0,001	59	
							13	4,700	87	0,4026

Varian 2L3N2N (Ulangan 5)

LAI	H	THA	BA	DQ	SI	LAI_Pred	%error	Selisih	Akurasi (%)	RMSE
1,30	12,1	1800	11,0	8,8	33,0	1,12	12	0,032	88	
1,20	11,8	1800	10,3	8,6	30,7	1,14	14	0,004	86	
1,26	11,8	2000	11,6	8,6	34,3	1,27	27	0,000	73	
1,47	12,4	1400	8,7	8,9	31,0	0,98	2	0,236	98	
1,19	11,8	1400	8,3	8,7	31,1	0,99	1	0,039	99	
0,90	12,4	1600	10,1	9,0	31,9	1,02	2	0,016	98	
0,89	11,8	1700	10,4	8,8	32,2	1,09	9	0,041	91	
1,29	12,0	1600	9,1	8,5	31,3	1,03	3	0,067	97	
1,54	7,9	1700	6,6	7,0	24,9	1,08	8	0,209	92	
0,70	6,6	1700	6,0	6,7	24,9	1,09	9	0,150	91	
1,29	8,7	1700	7,7	7,6	25,1	1,15	15	0,021	85	
1,02	8,5	1500	6,6	7,5	25,4	1,08	8	0,004	92	
1,55	9,3	1300	5,9	7,6	25,6	0,99	1	0,317	99	
1,71	7,5	1300	4,9	7,0	25,7	1,05	5	0,435	95	
1,24	9,7	1300	6,6	8,0	24,3	0,90	10	0,118	90	
1,05	9,7	1600	9,1	8,5	26,7	1,21	21	0,025	79	
1,18	7,0	1400	3,4	5,6	22,9	0,66	34	0,272	66	
0,78	7,6	1400	4,1	6,1	23,5	0,71	29	0,004	71	
0,58	7,9	1400	6,3	7,6	25,5	1,10	10	0,270	90	
1,53	11,2	1700	11,9	9,4	32,0	1,18	18	0,124	82	
1,56	11,3	1500	10,3	9,4	32,7	1,05	5	0,259	95	

Lanjutan Lampiran 9.

LAI	H	THA	BA	DQ	SI	LAI_Pred	%error	Selisih	Akurasi (%)	RMSE
1,93	11,1	1400	9,2	9,2	30,2	1,03	3	0,817	97	0,4035
1,38	12,3	1900	12,9	9,3	34,2	1,20	20	0,032	80	
1,30	9,5	1500	6,7	7,5	30,5	1,09	9	0,043	91	
1,81	11,2	1800	10,3	8,5	32,9	1,18	18	0,399	82	
1,67	11,1	1500	8,0	8,2	32,5	1,02	2	0,417	98	
1,60	10,9	1600	8,2	8,1	31,4	1,07	7	0,281	93	
1,57	10,4	1900	8,0	7,3	29,3	1,27	27	0,088	73	
1,38	10,9	2000	9,9	7,9	30,4	1,34	34	0,001	66	
							13	4,721	87	0,4035

Rekapitulasi Varian 2L3N2N

Pengulangan	%error	Akurasi (%)	RMSE
1	12,84	87,16	0,3919
2	13,14	86,86	0,4446
3	13,19	86,81	0,3975
4	12,80	87,20	0,4026
5	12,53	87,47	0,4035
Rata - rata	12,90	87,10	0,4080

Lampiran 10. Artificial Neural Network Varian 3L3N2N1N

Varian 3L3N2N1N (Ulangan 1)

LAI	H	THA	BA	DQ	SI	LAI_Pred	%error	Selisih	Akurasi (%)	RMSE
1,30	12,1	1800	11,0	8,8	33,0	1,12	12	0,032	88	
1,20	11,8	1800	10,3	8,6	30,7	1,14	14	0,004	86	
1,26	11,8	2000	11,6	8,6	34,3	1,27	27	0,000	73	
1,47	12,4	1400	8,7	8,9	31,0	0,98	2	0,236	98	
1,19	11,8	1400	8,3	8,7	31,1	0,99	1	0,039	99	
0,90	12,4	1600	10,1	9,0	31,9	1,02	2	0,016	98	
0,89	11,8	1700	10,4	8,8	32,2	1,09	9	0,041	91	
1,29	12,0	1600	9,1	8,5	31,3	1,03	3	0,067	97	
1,54	7,9	1700	6,6	7,0	24,9	1,08	8	0,209	92	
0,70	6,6	1700	6,0	6,7	24,9	1,09	9	0,150	91	
1,29	8,7	1700	7,7	7,6	25,1	1,15	15	0,021	85	
1,02	8,5	1500	6,6	7,5	25,4	1,08	8	0,004	92	
1,55	9,3	1300	5,9	7,6	25,6	0,99	1	0,317	99	
1,71	7,5	1300	4,9	7,0	25,7	1,05	5	0,435	95	
1,24	9,7	1300	6,6	8,0	24,3	0,90	10	0,118	90	
1,05	9,7	1600	9,1	8,5	26,7	1,21	21	0,025	79	
1,18	7,0	1400	3,4	5,6	22,9	0,66	34	0,272	66	
0,78	7,6	1400	4,1	6,1	23,5	0,71	29	0,004	71	
0,58	7,9	1400	6,3	7,6	25,5	1,10	10	0,270	90	
1,53	11,2	1700	11,9	9,4	32,0	1,18	18	0,124	82	
1,56	11,3	1500	10,3	9,4	32,7	1,05	5	0,259	95	
1,93	11,1	1400	9,2	9,2	30,2	1,03	3	0,817	97	
1,38	12,3	1900	12,9	9,3	34,2	1,20	20	0,032	80	
1,30	9,5	1500	6,7	7,5	30,5	1,09	9	0,043	91	
1,81	11,2	1800	10,3	8,5	32,9	1,18	18	0,399	82	
1,67	11,1	1500	8,0	8,2	32,5	1,02	2	0,417	98	
1,60	10,9	1600	8,2	8,1	31,4	1,07	7	0,281	93	
1,57	10,4	1900	8,0	7,3	29,3	1,27	27	0,088	73	
1,38	10,9	2000	9,9	7,9	30,4	1,34	34	0,001	66	
							13	4,721	87	0,4035

Varian 3L3N2N1N (Ulangan 2)

LAI	H	THA	BA	DQ	SI	LAI_Pred	%error	Selisih	Akurasi (%)	RMSE
1,30	12,1	1800	11,0	8,8	33,0	1,10	10	0,039	90	
1,20	11,8	1800	10,3	8,6	30,7	1,11	11	0,008	89	
1,26	11,8	2000	11,6	8,6	34,3	1,26	26	0,000	74	

Lanjutan Lampiran 10.

LAI	H	THA	BA	DQ	SI	LAI_Pred	%error	Selisih	Akurasi (%)	RMSE
1,47	12,4	1400	8,7	8,9	31,0	1,02	2	0,201	98	
1,19	11,8	1400	8,3	8,7	31,1	1,02	2	0,027	98	
0,90	12,4	1600	10,1	9,0	31,9	1,05	5	0,021	95	
0,89	11,8	1700	10,4	8,8	32,2	1,08	8	0,037	92	
1,29	12,0	1600	9,1	8,5	31,3	1,04	4	0,063	96	
1,54	7,9	1700	6,6	7,0	24,9	0,89	11	0,427	89	
0,70	6,6	1700	6,0	6,7	24,9	0,85	15	0,021	85	
1,29	8,7	1700	7,7	7,6	25,1	1,40	40	0,012	60	
1,02	8,5	1500	6,6	7,5	25,4	1,19	19	0,030	81	
1,55	9,3	1300	5,9	7,6	25,6	1,04	4	0,261	96	
1,71	7,5	1300	4,9	7,0	25,7	1,05	5	0,437	95	
1,24	9,7	1300	6,6	8,0	24,3	1,04	4	0,040	96	
1,05	9,7	1600	9,1	8,5	26,7	1,22	22	0,028	78	
1,18	7,0	1400	3,4	5,6	22,9	0,85	15	0,112	85	
0,78	7,6	1400	4,1	6,1	23,5	0,85	15	0,004	85	
0,58	7,9	1400	6,3	7,6	25,5	1,16	16	0,340	84	
1,53	11,2	1700	11,9	9,4	32,0	1,20	20	0,111	80	
1,56	11,3	1500	10,3	9,4	32,7	1,08	8	0,233	92	
1,93	11,1	1400	9,2	9,2	30,2	1,05	5	0,772	95	
1,38	12,3	1900	12,9	9,3	34,2	1,22	22	0,026	78	
1,30	9,5	1500	6,7	7,5	30,5	1,06	6	0,059	94	
1,81	11,2	1800	10,3	8,5	32,9	1,14	14	0,453	86	
1,67	11,1	1500	8,0	8,2	32,5	1,03	3	0,405	97	
1,60	10,9	1600	8,2	8,1	31,4	1,05	5	0,301	95	
1,57	10,4	1900	8,0	7,3	29,3	1,34	34	0,051	66	
1,38	10,9	2000	9,9	7,9	30,4	1,39	39	0,000	61	
							14	4,518	86	0,3947

Varian 3L3N2N1N (Ulangan 3)

LAI	H	THA	BA	DQ	SI	LAI_Pred	%error	Selisih	Akurasi (%)	RMSE
1,30	12,1	1800	11,0	8,8	33,0	1,10	10	0,039	90	
1,20	11,8	1800	10,3	8,6	30,7	1,13	13	0,006	87	
1,26	11,8	2000	11,6	8,6	34,3	1,28	28	0,001	72	
1,47	12,4	1400	8,7	8,9	31,0	1,02	2	0,206	98	
1,19	11,8	1400	8,3	8,7	31,1	1,02	2	0,029	98	
0,90	12,4	1600	10,1	9,0	31,9	1,03	3	0,018	97	
0,89	11,8	1700	10,4	8,8	32,2	1,08	8	0,035	92	
1,29	12,0	1600	9,1	8,5	31,3	1,04	4	0,063	96	
1,54	7,9	1700	6,6	7,0	24,9	0,95	5	0,352	95	

Lanjutan Lampiran 10.

LAI	H	THA	BA	DQ	SI	LAI_Pred	%error	Selisih	Akurasi (%)	RMSE
1,93	11,1	1400	9,2	9,2	30,2	0,98	2	0,907	98	0,4158
1,38	12,3	1900	12,9	9,3	34,2	1,16	16	0,047	84	
1,30	9,5	1500	6,7	7,5	30,5	1,08	8	0,050	92	
1,81	11,2	1800	10,3	8,5	32,9	1,16	16	0,423	84	
1,67	11,1	1500	8,0	8,2	32,5	1,04	4	0,396	96	
1,60	10,9	1600	8,2	8,1	31,4	1,08	8	0,269	92	
1,57	10,4	1900	8,0	7,3	29,3	1,39	39	0,031	61	
1,38	10,9	2000	9,9	7,9	30,4	1,42	42	0,001	58	
							14	5,014	86	0,4158

Rekapitulasi Varian 3L3N2N1N

Pengulangan	%error	Akurasi (%)	RMSE
1	12,53	87,47	0,4035
2	13,55	86,45	0,3947
3	12,87	87,13	0,3948
4	13,49	86,51	0,3875
5	13,90	86,10	0,4158
Rata - rata	13,27	86,73	0,3992